## sARMS-PCR 检测非小细胞肺癌肿瘤组织中 KRAS、BRAF 基因突变研究

邵 璐』侯丹阳』冷再君』徐修才。伍 权。操乐杰』

摘要 目的 针对非小细胞肺癌(NSCLC)患者组织标本鼠类肉瘤病毒癌基因同源基因(KRAS)和鼠类肉瘤滤过性毒菌致癌同源体 BI(BRAF)驱动基因突变使用特异引物双扩增实时蝎形探针扩增阻滞突变系统(sARMS-PCR)检测的可行性;了解 KRAS和 BRAF基因突变患者临床病理特征,为NSCLC患者个体化治疗提供理论依据。方法 收集89例NSCLC患者肿瘤组织甲醛固定石蜡包埋标本(FFPE),采用FFPE样品DNA分离试剂盒(离心柱型)提取DNA,使用sARMS-PCR同时进行KRAS及BRAF基因突变检测。结果

2015 - 07 - 15 接收

基金项目: 安徽省卫生厅医学科研课题计划(编号: 13ZC001);安徽 省科技攻关计划项目(编号: 1301042216)

作者单位: 安徽医科大学附属省立医院<sup>1</sup> 呼吸内科、<sup>2</sup> 中心实验室 ,合 肥 230001

作者简介: 邵 璐 女 硕士研究生;

操乐杰 男 ,教授 ,主任医师 ,硕士生导师 ,责任作者 ,E-mail: sycaolejie@ 163. com

① KRAS 基因突变 21 例(21/89);其中 KRAS 基因 7 种热点突变中 检出 6 种热点突变 均位于第 12、13 位密码子 几例同时检出存在 G12D 及 G12V 位点突变 几例同时检出存在 G12C 及 G12V 位点突变;未发现 G12S 突变型;② BRAF 基因突变 1 例(1/89) 突变位点为 V600E ,为女性 黏液腺癌;③ 未见 KRAS 和 BRAF 基因同时突变现象。结论 临床使用 sARMS-PCR 技术检测 NSCLC 患者 KRAS 和 BRAF 基因突变有较强敏感性,且石蜡组织标本取材方便,可以作为两种基因的临床检测方法; KRAS 和 BRAF 基因突变与年龄、吸烟史、病理分型等均无明显相关性,KRAS 基因突变与性别相关,男性高于女性; KRAS 与 BRAF 基因是独立存在的。关键词 非小细胞肺癌;鼠类肉瘤病毒癌基因同源基因;鼠类肉瘤滤过性毒菌致癌同源体 B1;特异引物双扩增即时PCR 技术

中图分类号 R 734.2

文献标志码 A 文章编号 1000 - 1492(2015)11 - 1669 - 05

kines after percutaneous coronary intervention (PCI) treatment in acute myocardial infarction (AMI) patients. Methods 118 incipient AMI patients with successful underwent PCI ( Defined as treatment group, blood samples were collected from pre-operation, 12 h after operation, 24 h after operation, 48 h after operation and 90 d postoperative follow-up period) and 52 AMI patients with diagnostic coronary angiography (CAG) (Defined as control group, blood samples were collected prior to CAG, 12 h after CAG, 24 h after CAG, 48 h after CAG and 90 d follow-up period) were enrolled in this study. Serum levels of IL-6, IL-18, hs-CRP, TNF-α and MMP-9 were detected in all the subjects by enzyme-linked immune sorbent assay( ELISA) and major adverse cardiac events( MACE) occurrence rate was analyzed in 90 days followed-up cases. **Results** No significant differences in baseline levels of IL-6, IL-18, hs-CRP, TNF- $\alpha$  and MMP-9 were found in the two study groups (P > 0.05). No significant differences of levels of IL-6 ,IL-18 ,hs-CRP ,TNF- $\alpha$  and MMP-9 were found after CAG in control group ( P > 0.05). The serum levels of IL-6 ,IL-18 ,hs-CRP and TNF- $\alpha$  after PCI were significantly increased (P < 0.01) while no significant differences were found in level of MMP-9 (P > 0.05) in PCI group. There were significant differences of levels of IL-6, IL-48, hs-CRP and TNF-α between MACE group and without MACE group after PCI. The multivariable logistic analysis showed that IL-6, IL-18, hs-CRP and TNF-α were risk factors of MACE after 90 days follow-up. Conclusion The concentrations of serum IL-6 ,IL-18 ,hs-CRP and TNF-α are significantly increased in AMI patients treated with PCI. PCI operation may induce inflammatory reaction. High serum levels of peripheral inflammatory cytokines IL-6, IL-18, hs-CRP and TNF-α have an important role in major adverse cardiac events (MACE) and short-term prognosis in the first AMI patients treated with successful primary PCI.

**Key words** acute myocardial infarction; interleukin-6; interleukin-18; high-sensitivity C-reactive protein; tumor necrosis factor-alpha; percutaneous coronary intervention

针对驱动基因的靶向治疗药物逐渐成为目前肺 癌个体化治疗研究的热点 ,主要集中在包括表皮生 长因子受体(epidermal growth factor receptor EGFR) 在内的数个信号转导途径,尤其是表皮生长因子受 体络氨酸激酶抑制剂(epidermal growth factor receptor-tyrosine kinase Inhibitors EGFR-TKI) 药物的研发 及临床应用,延长了非小细胞肺癌(non-small cell lung cancer NSCLC) 患者的生存期 EGFR 基因突变 与 EGFR-TKI 的相关性已经得到了很好的验 证[1-4]。但临床观察显示,虽然有部分患者存在 EGFR 基因突变 但对 EGFR-TKI 的治疗效果变异很 大,可能与 RAS-RAF-丝裂原激活蛋白激酶的激酶 (mitogen-activated protein kinase kinase ,MEK) -细胞 外信号调节激酶(extracellular-signal-regulated kinase ERK) 信号传导系统的下游信号因子鼠类肉瘤 病毒癌基因同源基因(kirsten rat sarcoma viral oncogene homolog ,KRAS) 或鼠类肉瘤滤过性毒菌致癌同 源体 B1 (V-rafmurine sarcoma viral oncogene homologB1 ,BRAF) 基因突变部分相关[5] ,因此给患者 行 TKI 治疗前仅仅检测 EGFR 是否突变可能不够全 面 在行 EGFR 基因突变检测同时需行 KRAS 和 BRAF 突变检测有利于做出更全面的治疗决策。目 前 KRAS、BRAF 基因检测主要有直接测序法、焦磷 酸测序法、高分辨率熔解曲线分析法(high resolution melting ,HRM) 等 ,但大多存在敏感性低、易污染等 问题 而特异引物双扩增实时蝎形探针扩增阻滞突 变系统(amplitieafion refractory mutation system, ARMS) 因其高敏感性、高特异性等优势受到临床广 泛欢迎。该研究旨在对 KRAS、BRAF 基因突变的检 测确立临床检验方法及两种基因与临床病理特征关 系进行探讨,为肺癌个体化治疗提供实验依据。

#### 1 材料与方法

1.1 标本来源 选取安徽医科大学附属省立医院 2013 年 1 月~12 月 NSCLC 组织学石蜡包埋组织标本 89 例 其中经胸外科手术切除标本 83 例 ,锁骨上转移性淋巴结活检 3 例 ,肺穿刺活检 1 例 恶性胸腔积液 2 例。标本经病理学确诊为 NSCLC ,均为甲醛固定石蜡包埋标本。标本采集前均未接受任何抗肿瘤治疗 ,无其他原发肿瘤病史。患者临床资料主要包括性别、年龄、吸烟史、肿瘤类型、TNM 分期等; 分期依据 2011 年由国际肺癌研究学会(IASLC)、美国胸科学会(ATS)及欧洲呼吸学会(ERS)制定的肺癌的国际多学科分类标准。

- 1.2 主要试剂 甲醛固定石蜡包埋标本(formalinfixed paraffin-embedded,FFPE)样品 DNA 分离试剂 盒(离心柱型)、人类 KRAS 基因 7 种突变检测试剂 盒(荧光实时 PCR)、人类 BRAF 基因 V600E 突变检测试剂盒(荧光实时 PCR)均购自厦门艾德生物科技有限公司。
- 1.3 FFPE 标本处理及 DNA 提取 所有石蜡组织标本均经病理学确诊,且肿瘤细胞含量 $\geq 10\%$ ,佩戴一次性手套,使用徕卡手动切片机连续切取每份FFPE 标本,切片厚度为  $5~\mu m$  ,共  $8~10~\mathrm{K}$  ,放置离心管中备用,更换 FFPE 标本时需用 75% 乙醇溶液擦拭切片机,避免切片机上残余的蜡块交叉污染。所有标本应用 FFPE 样品 DNA 分类试剂盒(离心柱型) 提取 DNA ,具体操作步骤按说明书进行。提取的 DNA 均使用 SMA4000 超微量紫外分光度计(AmoyDx 北京仪器有限公司) 行浓度测定,DNA 的260 nm 和280 nm 处光密度(optical delnsity,OD) 比值  $OD_{260}/OD_{280}$ 均在 1.8~2.0,并放置  $-20~\mathrm{C}$  环境保存。
- 1.4 KRAS、BRAF 基因检测 所提取的 DNA 分别根据人类 KRAS 基因 7 种突变检测试剂盒( 荧光实时 PCR) ,人类 BRAF 基因 V600E 突变检测试剂盒( 荧光实时 PCR) 所附说明书的步骤操作并运用Applied Biosystems 7500 实时 PCR 及操作系统( 美国应用生物系统公司) 行 KRAS、BRAF 联合检测。见图 1。
- 1.5 统计学处理 运用 SPSS 16.0 软件分析数据,基因突变状态与临床病理学特征采用  $\chi^2$  检验。

### 2 结果

- 2.1 临床病理学资料特点 本研究 89 例 NSCLC 患者 其中男 54 例 ,女 35 例 ,男女比例约为 1.5:1; 年龄 37~82 岁 ,中位年龄 60 岁 ,平均水平和变异程 度指标 61 岁 ,<61 岁 49 例 ,≥61 岁 40 例; 吸烟组 39 例 非吸烟组 50 例; 腺癌 88 例 ,非腺癌 1 例; I~ II 期 73 例 ,III~IV 期 16 例。
- 2.2 KRAS 及 BRAF 基因状态与临床病理特征的相关性 89 例 NSCLC 患者中, KRAS 基因突变率23.6%(21/40),男 17 例,女 4 例,男性和女性突变率分别为31.5%(17/54)和11.4%(4/35),两者之间差异有统计学意义(P<0.05)。吸烟者39 例 检出 KRAS 基因突变 12 例; 非吸烟者50 例,检出 KRAS 基因突变 9 例,突变率分别为30.8%和18.0% 吸烟者高于非吸烟者,但两者之间差异无统

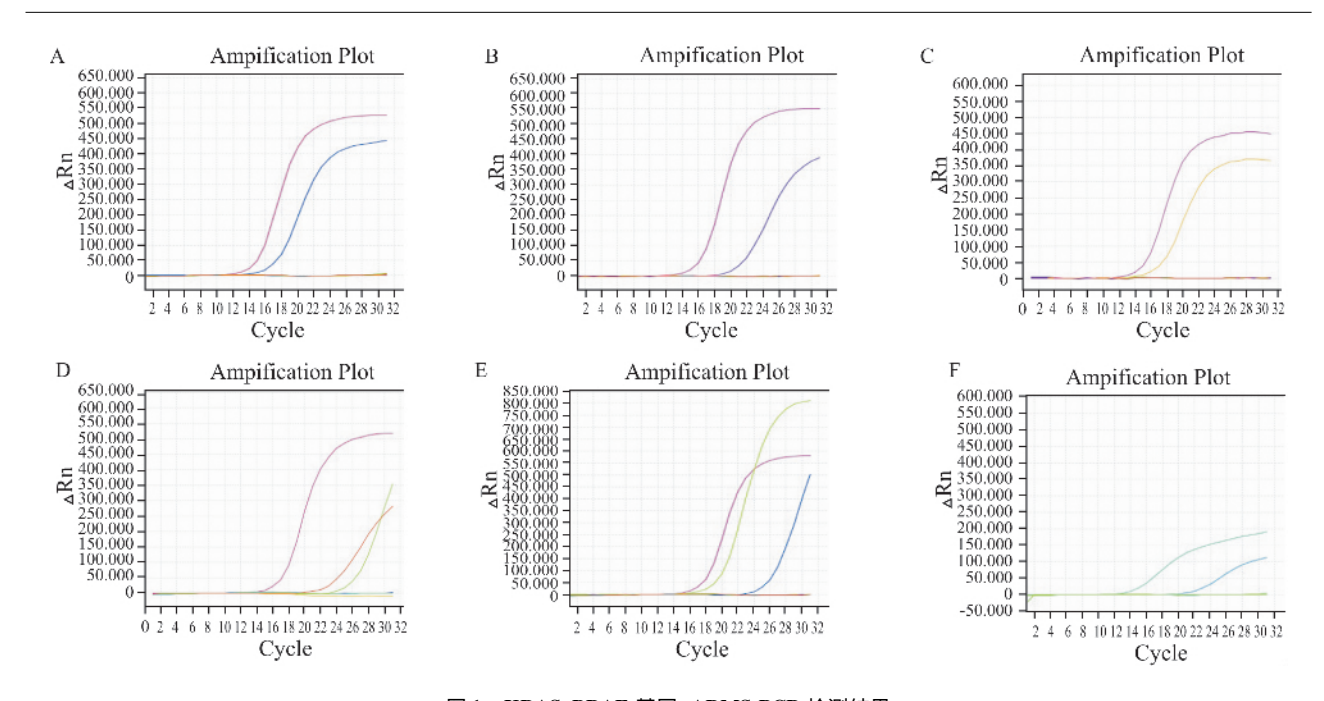


图 1 KRAS、BRAF 基因 sARMS-PCR 检测结果

A、B、C: KRAS 突变型; D: 复合突变 p. G12V 和 p. G12D; E: 复合突变 p. G12V 和 p. G12C; F: BRAF 基因突变型

计学意义。 I ~ II 期与Ⅲ ~ IV 期患者之间突变率差异无统计学意义。 见表 1。 BRAF 基因突变率 2.5%(1/40),与年龄、性别、吸烟史、病理类型、分期差异均无统计学差异。

表 1 KRAS 基因状态与临床病理特征的相关性(n)

	24 ¥b		KR	AS	
项目	总数	野生型	突变型	P 值	χ <sup>2</sup> 值
年龄(岁)					
≥61	40	29	11	0.433	0.614
< 61	49	39	10	0. 155	0.011
性别					
男	54	37	17	0.030	4.737
女	35	31	4	0.050	1.757
吸烟史					
吸烟	39	27	12	0.159	1.982
非吸烟	50	41	9	0.157	1.702
病理类型					
腺癌	88	67	21	0.113	_
非腺癌	1	1	0	0.113	
分期					
I ~ II	73	58	15	0.273	1.199
<b>Ⅲ</b> ∼ <b>IV</b>	16	10	6	0.213	1.177

2.3 KRAS 基因突变类型分析 89 例 NSCLC 患者标本行 7 种 KRAS 基因突变类型检测 ,分别为G13D、G12A、G12D、G12C、G12R、G12V、G12S ,其中检出 KRAS 基因突变 21 例 ,均发生在第 12 或 13 号密码子 ,其中 1 例 p. G13D ,6 例 p. G12A ,6 例 p. G12D 5 例 p. G12C ,1 例 p. G12R ,1 例复合突变

为 p. G12V 和 p. G12D ,1 例复合突变为 p. G12V 和 p. G12C ,未检出 p. G12S。见表 2。

表 2 KRAS 基因突变类型分析

突变名称	碱基变化	数目(例)	
G12D	GGT > GAT	6	
G12A	GGT > GCT	6	
G12V	GGT > GTT	0	
G12S	GGT > AGT	0	
G12R	GGT > CGT	1	
G12C	GGT > TGT	5	
G13D	GGC > GAC	1	
G12C 和 G12V	GGT > TGT 和 GGT > GTT	1	
G12D 和 G12V	GGT > GAT 和 GGT > GTT	1	

2.4 KRAS 基因与 BRAF 基因共存情况 89 例 NSCLC 肿瘤标本同步行 KRAS 和 BRAF 基因检测,同一患者未检出 KRAS、BRAF 双突变。

#### 3 讨论

RAS 蛋白又称 P21 蛋白,普遍存在于哺乳动物基因组中,突变的 RAS 蛋白持续与 GTP 结合处于活化状态,引起下游信号分子持续活化,促进肿瘤细胞的增殖、存活和转移。 RAF 蛋白是 EGFR 信号通路中 KRAS 下游重要的信号分子,是 RAS-RAF-MEK-ERK 信号转导通路重要的转导因子,其将信号从KRAS 传导至 MEK1/2,参与调控细胞的生物学事件,如细胞生长、分化和凋亡。在人类癌症中突变的

RAS 基因编码的蛋白质突变发生在 G12、G13 或Q61。1984 年人类首次在肺癌中发现 KRAS 基因突变 注要发生在密码子 12 或 13。

在西方国家中,肺癌的 KRAS 突变率达 15% ~ 30% ,低于亚裔患者<sup>[6~9]</sup> 的 20% ~ 30% ,更频发于来自吸烟者的腺癌<sup>[10-11]</sup> ,KRAS 突变在非吸烟肺癌患者中并不罕见,约占 15% ,本研究中的 89 例实验标本,运用 ARMS-PCR 测出 KRAS 基因突变率为23.6% ,与文献<sup>[6~9]</sup> 报道一致 ,吸烟者突变率为30.8% (12/39) ,非吸烟者突变率为18% (9/50) ,LCINS 突变率虽略高于文献报道,但吸烟者和未吸烟者突变率之间差异无统计学意义,与国外研究<sup>[18]</sup> 的 KRAS 基因突变更常见于吸烟者的报道不一致,是否存在相关性可以扩大样本量进一步研究。

本实验中,KRAS 基因突变与年龄、病理类型、吸烟、肿瘤分化程度等临床病理特点无相关性,与相关报道<sup>[12-13]</sup>一致,与性别是否相关,在国内外报道中未能统一,本实验中男性 KRAS 突变率为31.5%,女性为11.4%,差异有统计学意义,提示KRAS 基因突变在男性中更常见。

KRAS 点突变好发在第 12 或 13 号密码子,本实验中第 12 号密码子突变率为 22.5% (20/89),1 例发生在第 13 号密码子,突变率为 1.1% (1/89),发生在第 12 号密码子的突变数目远高于第 13 号密码子的突变数目 其中检测出 2 例复合突变 均发生于第 12 号密码子,1 例为 p. G12V 和 p. G12D,1 例为 p. G12V 和 p. G12C,均为男性,有吸烟史,腺癌患者,同时行 EGFR 基因检测,结果均为野生型。

BRAF 基因突变见于多种肿瘤,以直肠癌突变率最高约15% 在黑色素瘤、肺癌、甲状腺癌、肝癌及胰腺癌中均存在不同比例的突变。在 NSCLC 中,突变率为1%~2% 其中大部分是腺癌。目前识别超过40种突变,在各种不同类型的突变中,约90%的 BRAF 突变发生于谷氨酸残基600单个替换为缬氨酸(V600E)。本研究中,只有1例患者检测出BRAF 基因突变,发生在女性,非吸烟,KRAS 基因野生型患者,突变率为1.1%(1/89),研究标本量较少,可通过扩大样本量来进一步证实突变率。在目前的研究[14]中,BRAF 突变与 KRAS 突变是排斥存在的,本实验中未发现 KRAS 和 BRAF 基因同时存在的病例。

原发灶和转移灶中相关基因突变位点可能不完 全相同 在使用靶向治疗时 不应忽略原发灶和转移 灶可能存在基因突变位点不一致的现象。本研究 中 标本选择有 3 例来自于转移性淋巴结 2 例来自恶性胸腔积液 ,由于标本来源少 ,故未行原发灶及转移灶基因突变状态对比研究。

对于 EGFR 突变型的 NSCLC 患者 ,EGFR-TKIs 治疗有效率为  $70\% \sim 80\%$  ,有  $20\% \sim 30\%$  的患者存在原发性耐药 ,还有些患者初始治疗有效 ,后出现继发性耐药 ,这可能与 KRAS 或 BRAF 基因突变部分相关 ,因此给患者行 TKI 治疗前仅仅检测 EGFR 是否突变可能是不够的 ,在行 EGFR 基因突变检测同时需行 KRAS 和 BRAF 突变检测。

目前基因检测方法有很多种,直接测序法仍为金标准,但存在操作复杂、易污染、特异性低等,涨海萍等[15]通过对827例肿瘤病理石蜡切片样品提取DNA,同时运用 ADX-ARMs 技术和测序法进行检测,两种检测方法总体一致率为94.4%,突变一致率为100.0%,野生型一致率为92.5%,提示 ADX-ARMs 技术检测突变率较高,支持了 ADX-ARMs 技术的优势,指出了 ADX-ARMs 技术具有较高的检测灵敏度和可靠性。本实验运用 sARMS-PCR 法对NSCLC 患者石蜡包埋组织同时检测 KRAS、BRAF基因的突变状态,检测出基因突变率与国内外研究报道一致 临床使用 sARM-PCR 技术检测 NSCLC 患者 KRAS 基因和 BRAF 基因突变有较强敏感性,且石蜡组织标本取材方便,可作为这两种基因的临床检测方法。

带有 KRAS 第 12 号密码子突变的患者和野生型相比,化疗反应率相似,但带有 KRAS 基因第 13 号密码子突变的患者比 KRAS 野生型患者化疗后总体反应率更差,BRAF 基因是多种肿瘤的驱动基因,可能成为 NSCLC 患者治疗的新靶点,因此 NSCLC 患者多基因检测对肺癌个体化治疗有重要意义。

#### 参考文献

- [1] Maemondo M, Inoue A, Kobayashi K, et al. Gefitinib or chemotherapy for non-small-cell lung cancer with mutated EGFR [J]. N Engl J Med 2010 362(25): 2380 8.
- [2] Mitsudomi T, Morita S, Yatabe Y, et al. Gefitinib versus cisplatin plus docetaxel in patients with non-small-cell lung cancer harbouring mutations of the epidermal growth factor receptor (WJTOG3405): an open label, randomised phase 3 trial[J]. Lancet Oncol 2010, 11(2):121-8.
- [3] Zhou C , Wu Y L , Chen G , et al. Erlotinib versus chemotherapy as first-line treatment for patients with advanced EGFR mutation—positive non-small-cell lung cancer ( <code>OPTIMAL</code> , <code>CTONG-0802</code>): a multicentre , <code>open-label</code> , <code>randomised</code> , <code>phase 3 study[J]</code>. Lancet Oncol <code>2011 ,l2(8):735-42</code>.

- [4] Rosell R, Carcereny E, Gervais R, et al. Erlotinib versus standard chemotherapy as first-line treatment for European patients with advanced EGFR mutation-positive non-small-cell lung cancer (EURTAC): a multicentre, open-label, randomised phase 3 trial [J]. Lancet Oncol 2012, 13(3): 239-46.
- [5] Aviel-Ronen S ,Blackhall F H ,Shepherd F A ,et al. K-ras mutations in non-small-cell lung carcinoma [J]. Clinc Lung Cancer , 2006 8(1):30 8.
- [6] Shiqematsu H, Lin L, Takahashi T, et al. Clinical and biological features associated with epidermal growth factor receptor gene mutations in lung cancers [J]. J Natl Cancer Inst 2005 97(5): 339 –46.
- [7] Massarelli E , Varella-Garcia M , Tang X , et al. KRAS mutation is an important predictor of resistance to therapy with epidermal growth factor receptor tyrosine kinase inhibitors in non-small-cell lung cancer [J]. Clin Cancer Res 2007 ,13(10): 2890 - 6.
- [8] O'Byrne K J, Gatzemeier U, Bondarenko I, et al. Molecular biomarkers in non-small-cell lung cancer: a retrospective analysis of data from the phase 3 FLEX study [J]. Lancet Oncol, 2011, 12 (8): 795-805.
- [9] Douillard J Y , Shepherd F A , Hirsh V , et al. Molecular predictors of outcome with gefitinib and docetaxel in previously treated

- non-small-cell lung cancer: data from the randomized phase III IN-TEREST trial [J]. J Clin Oncol 2010 28(5): 744 – 52.
- [10] Gealy R , Zhang L , Siegfried J M , et al. Comparison of mutations in the p53 and K-ras genes in lung carcinomas from smoking and nonsmoking women [J]. Cancer Epidemiol Biomarkers Prev , 1999 8(4 Pt 1): 297 - 302.
- [11] Porta M , Crous-Bou M , Wark P A , et al. Cigarette smoking and K-ras mutations in pancreas , lung and colorectal adenocarcinomas: etiopathogenic similarities , differences and paradoxes [J]. Mutat Res 2009 682(2-3):83-93.
- [12] Riely G J Marks J Pao W. KRAS mutations in non-small cell lung cancer [J]. Proc Am Thorac Soc 2009 6(2):201-5.
- [13] Riely G J ,Kris M G ,Rosenbaum D ,et al. Frequency and distinctive spectrum of KRAS mutations in never smokers with lung adenocarcinoma [J]. Clin Cancer Res 2008 ,14(18):5731-4.
- [14] Li S ,Li L ,Zhu Y ,et al. Coexistence of EGFR with KRAS , or BRAF , or PIK3CA somatic mutations in lung cancer: a comprehensive mutation profiling from 5125 Chinese cohorts [J]. Br J Cancer 2014 ,110(11):2812-20.
- [15] 张海萍,付 莉,陈培琼,等. 特异引物双扩增即时 PCR 与传统测序法检测肠癌、肺癌患者 K-ras 基因突变的比较[J]. 中华病理学杂志,2010,39(11):757-61.

# sARMS-PCR detection in non-small cell lung cancer tumor tissue KRAS , BRAF gene mutation

Shao Lu, Hou Danyang Leng Zaijun, et al

( Dept of Respiratory , The Affiliated Provincial Hospital of Anhui Medical University , Hefei 230001)

Abstract Objective To explore the feasibility of use scorpion probe amplification refractory mutation system (sARMS-PCR) to detect Kirsten rat sarcoma viral oncogene homolog(KRAS) and V-rafmurine sarcoma viral oncogene homologB1(BRAF) gene mutations in non-small cell lung cancer (NSCLC) patients. To realize the clinical and pathological feature of KRAS, BRAF gene mutations in NSCLC patients, and to provide a theoretical basis for individualized treatment of NSCLC patients. *Methods* We collected 89 cases of tumor formalin-fixed paraffin-embedded tissue specimens (FFPE) in NSCLC patients then used DNA isolation kit to extract DNA and used sARMS to test KRAS and BRAF gene mutation. **Results** ① We found KRAS mutations in 21 patients (21/89) the mutation rate was 23.6%; the KRAS gene mutations included seven kinds of hot spots mutations, in which 6 were located at codon 12 and 13; the G12D and G12V site mutation and the G12C and G12C were detected from the 6 hot spots respectively; G12S mutant was not found; ② We only found BRAF gene mutation in one patient (1/89), the mutation rate was 1.1%. The mutation site was located at V600E, was a women, mucinous adenocarcinoma patient; (3) KRAS and BRAF gene never co-existed in the same patient. Conclusion Using sARMS-PCR technology to detect KRAS and BRAF gene mutations is feasible in NSCLC patients. There is no significant correlation with age , smoking history , pathological type in KRAS and BRAF gene mutations in NSCLC patients. KRAS gene mutation is related to gender, more common in women than in men (P < 0.05); KRAS and BRAF gene never coexist in the same patient.

**Key words** NSCLC; KRAS; BRAF; sARMS